

水路内下層流の取水限界について

九州工業大学

正員。浦 勝

学生員 高田 能典

" 今酒 誠

" "

はじめに 下流域に水門を有する水路内に二層密度流の場合が形成されている場合、下層流体のみを取水する限界および上層流体の混入率について検討を行なつた。今回は現象を単純化して、D.G.Huber による 3 line-Sink への二層流の解析法を有限差分法の水路の場合に拡張して解析を行なつたので、その一部を報告する。

基本式 流れの場を図-1 に示すように $x=0$

の断面に開き口の水路(流出口)を持ち、左の直角の半無限領域とする。水路より上流には鉛直密度分布が不連続な二層流の場合が形成されており、上層、下層の諸量を添字 1, 2 を用いて表わすこととする。

二層の流体を非回転・非粘性・非混合と仮定すれば、それからの流体内で流れ度数中は次の Laplace の方程式を満足する。

$$\nabla^2 \psi = 0 \quad (1)$$

さうに、二層の内部境界面は 1 つの流線となり、各層に対して Bernoulli の式を満足するから図-1 の ∞ 点と A 点において、圧力連続の条件を用いて、次式が得られる。

$$(U_{2A}^2 - U_{1A}^2) P_1/2 - (U_{2\infty}^2 - U_{1\infty}^2) P_2/2 = (P_2 - P_1) g (y_A - y_\infty) \quad (2)$$

したがって、与えられた境界条件のもとに二層が式(1)を満足し、内部境界面が式(2)を満足すれば解が得られる。

混入率を規定する因子 上層流体の混入率を規定する量を次元解析により求めておく。図-1 を参考して、

$$U_{1\infty} = f(h_1, h_2, b, x, y, U_{2\infty}, P_1, P_2, g) \quad (3)$$

$$\therefore z^* = F_1^2 = U_{1\infty}^2 / (P_1 - P_2) g h_1 \quad (4)$$

$$F_2^2 = U_{2\infty}^2 / (P_2 - P_1) g h_2 \quad (5)$$

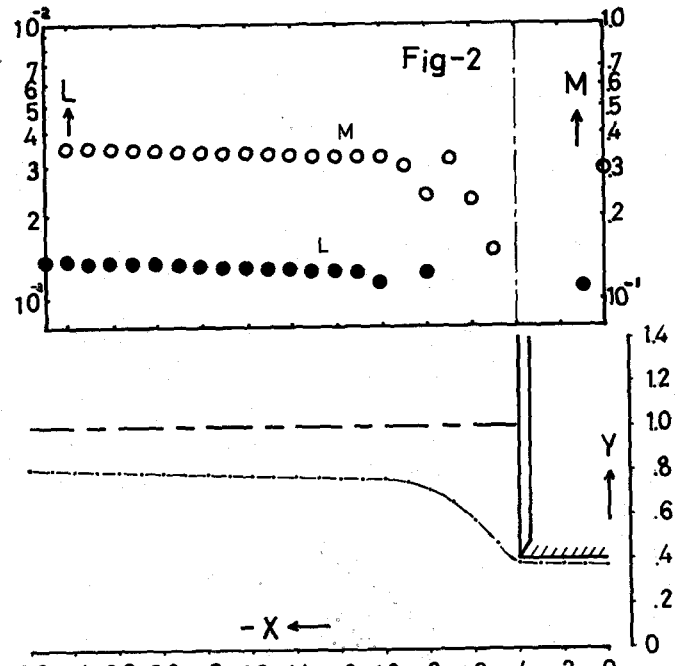
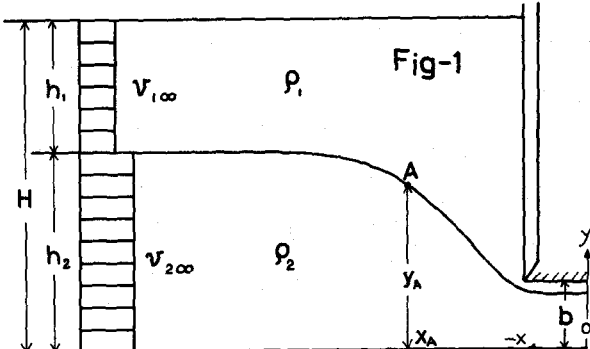
とおけば、次元解析より次式が得られる。

$$\frac{U_{1\infty}}{U_{2\infty}} = f\left(\frac{h_1}{h_2}, \frac{b}{h_2}, \frac{x}{h_2}, \frac{y}{h_2}, F_1^2, F_2^2\right) \quad (6)$$

混入率として次のように定義すれば、
 $M = \frac{y}{h_2} / (g_1 + g_2) = \frac{h_1}{h_2} \frac{U_{1\infty}}{U_{2\infty}} / (P_1 U_{1\infty} + P_2 U_{2\infty}) \quad \dots (7)$
 となるから、式(5)を考慮すれば、混入率は相対水深 y/h_2 、相対水内密度 P_1/P_2 と $X = x/h_2$ 、 $Y = y/h_2$ によって規定されると考えられる。

解析手順

①流れの場を基準量 $h_2, U_{2\infty}, P_2$ を用いて無次元化する。
 $X = x/h_2, Y = y/h_2$



$$\Psi = \frac{u}{u_0 h_2}, \quad U = u/u_0 = \partial \Psi / \partial Y, \quad W = w/u_0 = -\partial \Psi / \partial X, \quad V = \sqrt{U^2 + W^2} \quad \dots \quad (8)$$

(1) 内部境界面の形状を仮定し、種子網の切片を与える。③ 境界条件を与える。下流側の水内直下の中央分布は不明な点が多いから、急縮を持つ流出口と同様であるとする。下流端で直線分布を与えて。④ 全ての格子点で $\nabla^2 \Psi = 0$ を満足するよう、繰り返し計算を行なうが、今回用いたのは Gauss-Seidel 法を用いた。⑤ 境界面上の流速を各格子点の層に割り切って、式(8)を用いて求めた。これは mesh が粗いと精度が落ちる。

⑥ 求めた流速は假定した境界条件の下で得られたものであり、両層に亘ってそれが L, M の補正係数を用いては式(2) が満足されることになるであろう。もし、L, M が境界面上の各点で異なれば、形状を修正して、一定の補正值になるまで計算を繰り返す可。

$$M(V_{2A}^2 - V_{200}^2) - L(V_{1A}^2 - V_{100}^2) = 1 - Y_A \quad \dots \quad (9)$$

これがより両層の Froude 数が次式のように求められる。

$$F_2'^2 = 2V_{200}^2 M, \quad F_1'^2 = 2V_{100}^2 L(h_2/h_1) \quad \dots \quad (10)$$

⑦ 流量比は次式のように計算される。

$$Q_1/Q_2 = V_{100}h_1/V_{200}h_2 = (F_1'/F_2')^{1/2} \quad \dots \quad (11)$$

よって、上層流体の混入率は上式を(7)に代入して求めることができる。

計算結果 $a/h_2 = 2.0, b/h_2 = 0.4, DX = DY = 0.1$ を用いて求めた境界面形状の一例を図-2の下側に示す。この時の補正係数 L, M の各流速計算格子点上で求めたものを図-2の上側に示す。

計算種子間隔が粗く、水内直下で精度が悪くなる。同様の方法で、数種の形状に対して求めた L, M の値から、上、下層の F_1', F_2' を求め、これらを関係を図-3 に示した。混入率 M と F_2' の関係を図-4 に示す。

これらの図から、下層流体は $F_2' \leq 1.0$ まで上層を混入することはなく取水できる。この意味において取水限界は $F_2' = 1.0$ といえる。

しかししながら、ややかなる流量増加によって、上層が混入し、下層の流量は急激に減少する。ついで最終値 $F_2' = 0.54$ となる。これ以上の流量増加に対しては上層の計流量が増し、下層の計流量は変化せず、混入率は急速に下へく。この意味においては、取水限界は $F_2' = 0.54$ とすべきが安全側である。この値と模型実験結果²⁾の $F_2' = 0.21 \sim 0.31$ と比較すると大きすぎる。Huber の解¹⁾と Huber-Lin-Sank²⁾の理論解に比べるとはるかに小さくなる、といふ。彼らの実験値³⁾ $F_2' = 0.65$ 、Craya の理論解³⁾ $F_2' = 0.75$ に近づくなど、これらことは興味深い。

今後 $a/h_2, b/h_2$ を変化させると共に精度を高めよう。

参考文献 1) Huber, D.G.; Proc. ASCE, EM4, Aug 1960, p71~

2) 清水義田; 土木学会年譲 II, 1976, p385~

3) Yih, H.; Dynamics of Non-homogeneous Fluids, Macmillan, 1968.

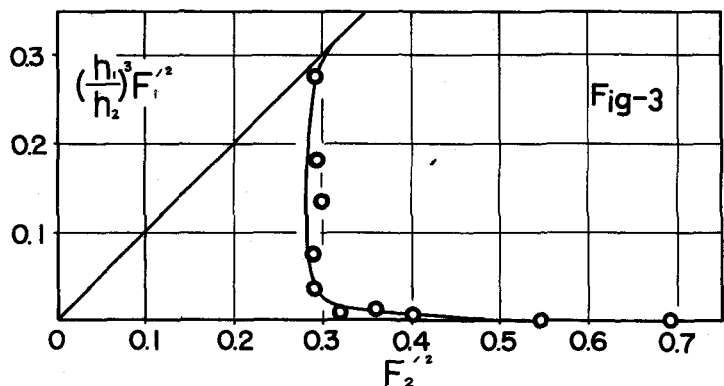


Fig-3

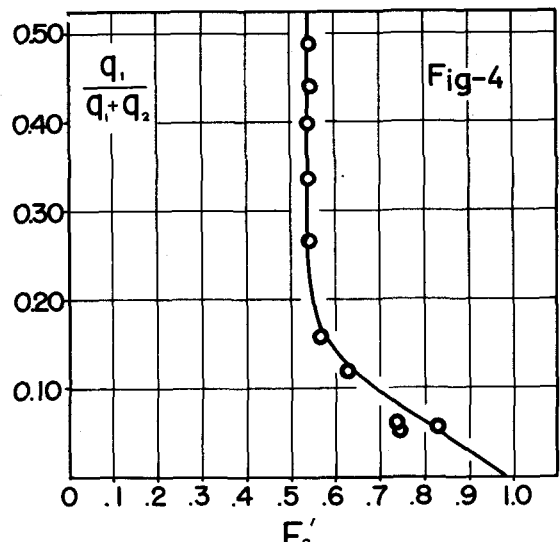


Fig-4